

IPsec과 연동되는 개선된 Anti-DoS IKE 프로토콜 엔진의 구현 및 평가

정회원 김 성 찬*, 천 준 호**, 종신회원 전 문 석**

An Implementation and Evaluation of Improved Anti-DoS IKE Protocol Engine for Interaction with IPsec System

Sung-Chan Kim, Junho Choun *Regular Members*, Moon-Seog Jun *Lifelong Member*

요 약

인터넷 사용이 증가하면서 보안 시스템에 대한 중요성도 강조되고 있다. 기존의 보안 시스템에서 키 교환에 사용되어 왔던 인터넷 키 교환 프로토콜은 효율성 및 안정성에 문제가 있다는 지적을 받아 왔다. 본 연구에서는 이러한 문제점을 해결하고자 했으며, 새로 구현한 키 교환 프로토콜을 IPsec에 연동되도록 테스트 환경을 구현하여 성능평가를 하였다. 본 연구에서 구현한 키 교환 프로토콜은 RFC에서 제안하는 표준에 따라서 구현 하였으며 키 교환 및 인증 과정에서 지적된 복잡성과 속도 문제를 해결 하였고 서비스 거부 공격에 대응하도록 설계 하였다. 복잡한 메시지 교환 단계를 줄여서 속도를 향상시켰고, 재협상 시 기존 상태 값을 재활용함으로써 효율성을 증가 시켰다.

Key Words : IKE, IPsec, DoS

ABSTRACT

As the increment usage of Internet, the security systems's importance is emphasized. The current Internet Key Exchange protocol(IKE) which has been used for key exchange of security system, was pointed out a problem of efficiency and stability. In this research, we try to resolve those problems, and evaluate the newly designed Key Exchange protocol in the IPsec interaction test bed system environment. In this research we implemented the new Key Exchange Protocol as a recommendation of RFC proposal, so as to resolve the problem which was pointed out the key exchange complexity and the speed of authentication process. We also designed the defense mechanism against the Denial of Service attack. We improved the key exchange speed as a result of simplification of complex key exchange phase, and increased efficiency as a result of reuse the preexistence state value when it's renegotiated.

I. 서 론

인터넷 사용자의 증가로 공중망에서의 데이터 처리 및 전송되는 정보는 디지털화 대용량화 하고 있고, 데이터에 대한 적절한 보호 조치가 없으면 송수

신 처리 혹은 컴퓨터에 저장된 상태에서 유출, 삭제 및 수정 등의 위험에 노출되기 쉽다. 이러한 정보보호 관련 사고로 인한 경제적 손실 등의 문제점이 커지자 정보보호에 대한 관심은 점점 고조되고 있는 상황이다. 보안 프로토콜이란 보인이 취약한 인

* (주)유코레일 (sckim@mail.eukorail.co.kr), ** 충실파대학교 컴퓨터학과 (opendr@ssu.ac.kr, mjun@ssu.ac.kr)
논문번호 : KICS2006-07-279, 접수일자 : 2006년 6월 23일, 최종논문접수일자 : 2006년 10월 23일

터넷을 통해 전달되는 패킷을 대상으로 패킷이 전송 중에 데이터가 변하지 않았음을 보장하고, 발신자의 인증확인 및 암호화를 통해 정보가 노출되지 않았음을 보장하는 프로토콜로써 보안 서비스를 제공해 주는 인터넷 보안 메커니즘의 하나이다^[1]. 보안 프로토콜의 동작은 송신측에서 패킷을 암호화하고, 수신측에서 복호화 하는 것으로 이루어지며, 이를 위해 양측은 사전에 데이터를 암호화하고 암호화된 키를 복호화 하기 위한 공유키와 함께 안전하게 공유하고 있어야 한다. 이러한 키 공유 작업을 안전하게 자동으로 해주는 프로토콜이 키 관리 프로토콜이며, 이것을 IETF(Internet Engineering Task Force)에서는 인터넷 키 교환(IKE) 프로토콜로서 RFC 2407, 2408, 2409 문서로 표준화 하였다^{[2][3]}. 하지만 RFC 2407, 2408, 2409의 문서로 정의되어 있는 인터넷 키 교환(IKE) 프로토콜은 가능성이 복잡하고 표준 규격의 기술도 난해하여 이를 구현한 제품 간에 상호 연동이 힘들뿐만 아니라 서비스 거부 공격에 대한 취약성 등의 문제점들이 지적 되었다. 본 연구에서는 2005년 12월에 제출된 RFC4306에서 제안하는 향상된 인터넷 키 교환(IKEv2)프로토콜을 IPsec 프로토콜과 연동되도록 구현하여 실험실 내의 테스트베드 환경에서 패킷을 분석하고 성능을 평가 하였다. 새로 구현된 IKE 프로토콜이 IPsec 프로토콜과 연동되어 기대되는 바와 같이 동작하고 속도가 향상되었는지를 분석하였고, 특히 서비스 거부 공격에 좀 더 안정적인 Anti-DoS 방어 기능을 구현하였다. 본 논문의 구성은 다음과 같다. II장에서는 본 연구의 기초가 되는 관련연구에 대하여 기술하고 III장에서는 본 연구에서 구현한 개선된 IKE 프로토콜과 IKE 프로토콜의 서비스 거부 공격 방어 기능, 그리고 IPsec과 연동되는 테스트베드 시스템에 대하여 기술한다. IV장에서는 구현된 시스템에 대한 사용 결과 산출물로서 성능 평가를 한 후, V장에서 결론을 맺는다.

II. 관련연구

본 연구에서는 설계하고 구현한 키 교환 프로토콜은 IPsec과 연동 되도록 하여 테스트베드 환경을 구성하였다. 구현에 사용한 IPsec 프로토콜은 IPsec을 구현한 공개소스인 FreeS/WAN에 키 교환 프로토콜 부분을 본 연구에서 제안한 개선된 Anti-DoS IKE 키 교환 모듈로 탑재하여 구현하고 실증 하였다. 관련연구에서는 본 연구에 사용된 FreeS/WAN

과 IKE 키 교환 프로토콜에 대한 내용을 간략하게 설명하도록 하겠다.

2.1 FreeS/WAN

그림 1은 본 연구에서 구현 모듈의 몸체로 사용한 IPsec 프로토콜의 공개용 소스인 FreeS/WAN의 구성도이다. FreeS/WAN에서는 데이터 암호화에 관련하는 암호화 프로토콜인 AH와 ESP 프로토콜은 KLIPS라는 이름의 데몬에 의해 동작되고, IKE 프로토콜이 탑재된 키 교환 기능은 PLUTO라는 이름의 데몬에 의해 동작한다^[4].

FreeS/WAN^[5]는 KLIPS 데몬과 PLUTO 데몬, 보안 데이터베이스가 함께 연동 되면서 사용자 인증 및 데이터 암호화를 이용한 가상 사설망 서비스를 제공한다. 본 연구에서는 PLUTO 데몬이 기존의 IKE 프로토콜을 기반으로 만들어져 있어 속도, 효율 Dos 공격에 대한 안정성에 문제를 개선하여 안정적이고 효율적인 프로토콜로 대체하였다. PLUTO 데몬에서는 VPN 서비스에 있어 상대편에 위치한 FreeS/WAN의 PLUTO 소켓을 통해 메시지를 주고 받으며, 멀티 플렉싱 기법으로 각 소켓을 열어두고 있다가 메시지가 들어오면 해당 소켓을 감지하여 적절한 처리 모듈로 보낸다. 시간 관련 모듈이 별도로 동작하며 주기적으로 로그 작성이나 SA 유효기간 만기처리등 시간에 관련된 이벤트를 처리한다. PLUTO 데몬은 데몬의 동작을 제어할 수 있는 사용자 명령 메시지를 처리해주는 Command_Handle 모듈, 운영체제의 커널 내부에 위치한 정책 데이터베이스와 PLUTO 데몬과의 연결 및 사용자가 수동으로 각 트래픽에 대한 정책을 설정 할 수 있도록 하는 명령어를 처리해 주는 Policy_Handle 모듈, 반대편 단의 PLUTO 데몬과의 네트워크 통신을 담당

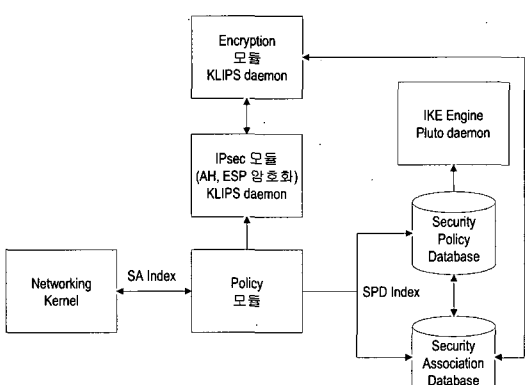


그림 1. Free S/WAN 구성도

하는 Network_Handle 모듈로 구성되어 있으며 각 구성을 위한 유기적인 연동에 의해 사용자 인증 및 데이터 암호화의 기능을 제공한다^[6].

2.2 IKE 프로토콜

IKE는 보안연계(SA: Security Association)의 수립을 위하여 인증된 키 자료를 보호된 방식으로 협상하고 제공하는 프로토콜이다. IKE는 3개의 서로 다른 프로토콜의 관련 부분을 결합한 하이브리드 프로토콜로서, ISAKMP(Internet Security Association and Key Management Protocol), Oakley Key Determination Protocol과 SKEME 프로토콜로 이루어져 있다. ISAKMP 프로토콜에서는 프레임워크, 메시지 포맷 및 Phase (단계) 개념을 채용해 왔고, Oakley 프로토콜에서는 두 가지 키 교환 모드, 그리고 SKEME 프로토콜에서는 공개키 암호방식을 가져왔다. IKE는 서비스 거부 공격 및 man in the middle 공격을 방지하며 PFS(Perfect Forward Secrecy)를 제공하도록 설계되었다^[7]. IKE는 ISAKMP 협상의 단계에서 동작하는 여러 교환 모드를 제공하며, 1단계 교환에서 개시자와 응답자간에 ISAKMP SA를 수립하고, 2단계에서는 AH, ESP와 같은 다른 보안 서비스를 위한 SA를 수립하는데 이용된다. 1단계에서는 안전하고 인증된 통신 채널을 생성하고, 인증된 키 교환을 수행하는데 사전 공유 키(Preshared Key), 디지털 서명(Digital Signature), 두 가지의 공개키 암호 방식(Public Key Encryption, Revised Public Key Encryption)의 4가지 방식이 지원되며, 메인(Main) 모드 또는 어그레시브(Aggressive) 모드 중 한 모드로 동작함으로써 안전한 IKE SA를 수립한다^[8]. Phase I에서 메인 모드의 경우 메시지 교환 절차는 모두 여섯 개의 메시지 교환으로 이루어진다. 첫째와 둘째 메시지 교환에서 양측은 IKE SA를 협상하고, 셋째와 넷째 메시지 교환에서는 Diffie-Hellman 키 공개 값을 교환한다. 마지막, 다섯째와 여섯째 메시지 교환에서는 이상의 통신 내용과 상대방의 신원(Identity)을 인증한다. Phase I에 의해 IKE SA가 수립되면, Phase II에서는 실제로 보안 통신용 사용자 SA가 생성되는데, 그 중 하나가 IPsec SA이다. 즉, DOI(Domain of Interpretation)에 다른 보안 프로토콜의 SA 생성이 가능하다^{[9][13]}.

2.3 협상된 IKE 프로토콜 IKE Version 2

RFC 2409로 표준화 되어 있는 IKE 프로토콜은 기능이 복잡하고 표준 규격의 기술(Description)도

난해하여 이들을 구현 한 서로 다른 기종 제품 간에 상호 연동성이 아직까지도 확보되지 않고 있다. 이러한 배경에서 IETF IPsec 워킹 그룹은 2001년 8월에 새로운 키 관리 프로토콜을 개발하기로 하였고 그동안 두 프로토콜 즉, IKE Version 2와 JFK(Just Fast Keying) 프로토콜이 경합되어 왔으나 최근 IKEv2로 표준화를 조율하여 2005년 12월 RFC4306 문서가 제출 되었다^{[10][11]}. IKEv2는 기존의 IKE 프로토콜의 개념을 그대로 계승하면서 기능을 대폭 축약하였다. IKEv2는 새로운 키 관리 프로토콜이 만족시켜야 하는 요구사항을 충족하도록 설계되었다^{[11][12]}. IKEv2는 정상 상태에서 4개의 메시지 교환에 의해 통신 쌍방이 인증된 보안 채널을 수립할 수 있다. 기존 IKE가 6개의 메시지 교환으로 이를 달성하는 것에 비해 경제적이다. 또한, IKEv2는 기존 IKE 프로토콜에서 취약했던 서비스 거부 공격(DoS Attack)에 대한 대응력을 갖고 있다. 서비스 거부 공격이란 시스템 자원에 대한 정상 서비스를 방해하는 것이다. 이 공격 방법은 비교적 단순하며, 공격자의 추적이 어렵다는 특징을 갖고 있다. 기존의 IKE 프로토콜에서는 악의적인 해커가 계속적으로 연결 요청을 날리면, 수신자는 연결 요청마다 각각에 대한 상태 정보를 유지하기 때문에 메모리가 낭비되어 시스템이 다운 될 수 있는 취약점이 있었다. IKEv2는 DoS 공격 시 2개의 메시지 교환을 추가함으로써 서비스 거부 공격에 대한 방어 메커니즘을 제공한다. 또한 DoS 공격 대응력을 높이기 위해 IKE는 PFS를 타협할 수 있도록 허용하였다^{[14][18]}. IKEv2는 기존 IKE Phase I/II 분리 개념을 계승하여 Phase I에서 수립된 IKE SA를 후속 IPsec SA들의 수립과 관리 시 제어 채널로 활용할 수 있게 하였다^{[13][15]}. 인증 방식에서는 IKEv2는 공개키 기반의 인증서에 의한 인증을 기본으로 하지만, 사전 공유키 사용도 지원한다.

III. 개선된 Anti-DoS IKE 프로토콜 엔진과 IPsec 연동 테스트베드 구현

본 연구에서는 새롭게 키 교환 프로토콜의 표준으로 제안된 IKEv2 프로토콜을 DoS 공격에 대응하도록 설계하여 IPsec 프로토콜과 연동되도록 구현하고 그 성능을 기존의 IKE 프로토콜과 비교해서 평가하는 것을 목표로 삼았다. 새롭게 개선된 Anti-DoS IKE 프로토콜 엔진을 IPsec 공개 소프트웨어^{[16][17]}에 탑재하여 실험실 내에 IPsec VPN 테스트베드를

구현하고 IPsec 게이트웨이 간에 보안 통신 수립 시 교환되는 패킷을 분석하여 암호화의 여부를 분석하고 속도를 측정하여 성능을 평가하고자 한다.

3.1 개선된 IKE 프로토콜 엔진의 설계

본 논문에서 구현한 IKE 프로토콜 엔진은 그림 2와 같이 FreeS/WAN의 키 교환 엔진에 탑재되어 연동 되도록 설계 하였다. FreeS/WAN에서 가장 사설망 연결에 관한 인증 및 암호화를 담당하는 핵심 부분인 IPsec의 PLUTO와 보안 정책 데이터베이스, 보안 연계 데이터베이스, 커널 단(KLIPS)에 있는 AH, ESP의 상관관계를 보여 주고 있다. PLUTO는 가장 사설망을 제어하기 위해서 보안 정책 데이터베이스와 보안 연계 데이터베이스의 정보를 참조 해서 각각의 상황에 맞는 암호화 알고리즘을 선택 함으로써 가장 사설망 통신을 지원한다.

PLUTO Daemon을 구성하고 있는 IKEv2 프로토콜 엔진은 크게 4개의 패킷 처리 함수로 구성되어 있으며, 4단계^[19]를 거쳐 패킷을 처리한다. 먼저 상대방 IKE 소켓에서 메시지를 읽어오는 read_packet() 함수, 두 번째는 읽어 온 메시지를 파싱하는 process_packet() 함수, 세 번째는 받은 페이로드를 하나하나 처리하고 응답메시지를 생성하여 상태 정보 구조체에 반영하는 state_process() 함수, 마지막으로 응답 메시지를 해당 소켓으로 보내고, 관련된 이벤트를 스케줄 하는 message_complete() 함수이다. 그림 3은 IKEv2 프로토콜 엔진의 자료 흐름에 사용되는 구조체들의 흐름을 나타낸 것이며, IKEv2 프로토콜 엔진의 핵심 구성 요소이다. 그림 3의 ①번 상태 종류 구조체에 사용되는 상태 종류 변수는 IKE 메시지 교환 단계에 대한 상태를 명시적으로 지정하는 변수이며, ②번 메시지 구조체는

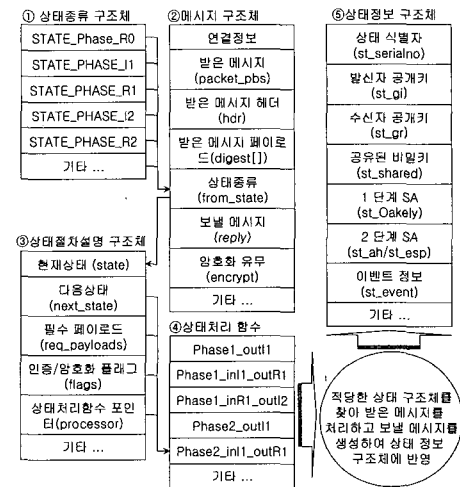


그림 3. 주요 자료구조 및 DATA FLOW

해당되는 메시지 교환 단계에 대한 정보를 가지고 있고, IKEv2 모듈이 호출 될 때 생성되어 끝날 때 사라지는 임시 변수이다. 메시지 교환의 연결 정보라든지, 받은 메시지가 몇 번째 교환 상태인지, 보낼 메시지 데이터가 무엇인지등의 정보를 담고 있으며, 메시지 구조체의 상태 종류 필드는 상태 절차 설명 구조체의 현재 상태 필드와 연결 되어 있다. ③번 상태 절차 설명 구조체는 각 상태별로 처리해야 하는 일련의 절차상의 정보를 가지고 있다.

이 상태 종류는 몇 번째 교환에 해당하고, 다음 상태는 어떤 것이며, 받는 페이로드와 보낼 페이로드들이 어떤 것이 되어야 한다고 규정되어 있다. 이러한 정보를 바탕으로 받은 페이로드들이 적법하게 들어왔는지 검사 할 수 있으며, 상태 절차 설명 구조체는 실제 메시지 교환 처리를 하는 상태 처리 함수를 가리키는 포인터 필드를 가지고 있다. 상태 처리 함수는 실제 페이로드들의 값을 처리하여 SA를 협상하는 함수로써 각 상태마다 별도로 구현되어 있다. SA 페이로드를 분석하여 해당 알고리즘을 설정하고, 공개키나 비밀키 등을 계산하며, 그 값을 통해 암호화와 인증을 하는 실제 처리를 담당한다. 그리고 협상된 모든 정보를 상태 정보 구조체라는 자료구조에 반영한다. 상태 정보 구조체는 전역변수로 잡혀 있는 구조체로서 연결정보와 SA 협상에 관련된 모든 정보를 담고 있다. 이 상태 정보 구조체를 통해 각 메시지 교환 단계에서 SA 협상을 하게 되며, 그 정보를 유지하고 있다. IKE 메시지 교환을 통해 완벽하게 협상된 이 구조체의 SA정보는 커널에 있는 보안 데이터베이스에 반영하도록 하였다.

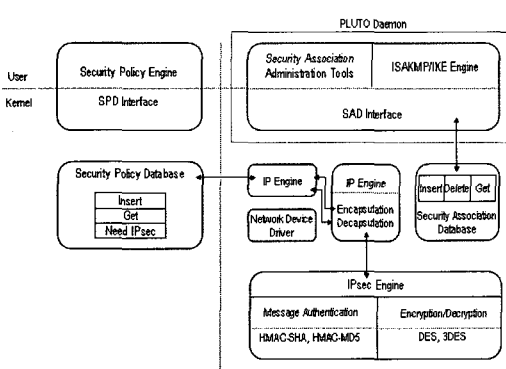


그림 2. 시스템 모듈 구성도^[18]

```

enum state_kind {
    STATE_PHASE1_R0, // 1단계 초기 메시지 교환 (응답자 측)
    STATE_PHASE1_I1, // 1단계 초기 메시지 교환 (발신자 측)
    STATE_PHASE1_R1, // 1단계 인증 메시지 교환 (응답자 측)
    STATE_PHASE1_I2, // 1단계 인증 메시지 교환 (발신자 측)

    STATE_PHASE1_R2, // 1단계 SA 설립 완료 상태 (응답자 측)
    STATE_PHASE1_I3, // 1단계 SA 설립 완료 상태 (발신자 측)

    STATE_PHASE2_R0, // 2단계 자식 SA 생성 요청 메시지 교환 (응답자 측)
    STATE_PHASE2_I1, // 2단계 자식 SA 생성 응답 메시지 교환 (발신자 측)

    STATE_PHASE2_R1, // 2단계 SA 설립 완료 상태 (응답자 측)
    STATE_PHASE2_I2, // 2단계 SA 설립 완료 상태 (발신자 측)
};

}

```

그림 4. 상태 종류 변수

```

Struct msg_digest {
    Const struct Iface *iface;           // 인터페이스
    ip_address sender;                // 발신자 주소
    u_int16_t sender_port;            // 발신자 포트
    pb_stream packet_pbs;             // 받은 메시지(스트림)

    struct isakmp_hdr hdr;           // 받은 메시지의 헤더(헤더구조체)
    struct payload_digest digest[PAYLIMIT]; // 받은 메시지의 페이로드 배열

    enum state_kind from_state;      // 상태 종류
    Pb_stream reply;                // 보낼 메시지(스트림 헤더 포함)
};

```

그림 5. 메시지 구조체 필드

그림 4는 그림 3의 ①번 상태 종류 구조체에 사용되는 상태 종류 변수를 나타내고 있다. 이 변수는 메시지 교환 단계를 나타내며, 메시지 구조체의 상태 종류 필드와 상태 절차 설명 구조체 배열의 인덱스로 활용된다. 즉 상태 종류 변수는 각 처리 단계를 구분하는 식별자로써 IKE 메시지가 들어왔을 때 몇 번째 교환 절차인지를 명시한다. 1단계 초기 교환 시 송신자가 보낸 요청 메시지를 수신자측이 받은 상태는 STATE_PHASE1_R0 가 된다. 또한 수신자가 이에 대한 응답 메시지를 보내어 송신자가 그 메시지를 받은 상태는 STATE_PHASE1_I1 이 된다. 이러한 방식으로 IKE 키 교환 단계마다 상태 종류를 명시하였고, 상태마다 적합한 처리 절차와 연결시킴으로써 해당 교환 단계에 맞는 메시지 처리가 이루어지도록 구현하였다.

IKEv2 프로토콜 모듈은 먼저 각 메시지 교환의 정보를 담는 구조체인 그림 5와 같은 메시지 구조체를 인자로 받는다. 먼저 통신하는 두 호스트간의 연결정보 필드와 받은 메시지 스트림에서 헤더와 페이로드별로 파싱하여 별도의 필드로 관리한다. 또한 상태 종류와 보낼 메시지 데이터가 채워질 필드를 가지고 있다. 발신자로부터 IKE 메시지가 전송되면 수신자는 먼저 연결 정보를 채우고, 그 메시지를 받아서 메시지 구조체에 헤더와 페이로드별로 파싱하여 필드를 채운다. 1단계 초기 메시지 교환

```

Struct state microcode {
    Enum state_kind state;           // 현재 상태를 지정
    enum state_kind next_state;     // 다음 상태를 지정
    lset_t flags;                  // 인증 및 암호화 옵션 플래그
    lset_t req_payloads;           // 필수 페이로드 비트셋
    lset_t opt_payloads;           // 옵션 페이로드 비트셋
    U_int8_t
        first_out_payload;         // 응답용 메시지의 최초 페이로드
    enum event_type timeout_event; // 상태와 연관된 이벤트(재전송, 만기)
    state_transition_processor;    // 상태 처리 함수의 포인터
};

}

```

그림 6. 상태 절차 구조체

단계에서는 HDR와 SA, KE, Nr(발신자용 Nonce 페이로드)를 발신자로부터 받게 된다. 수신자는 이 정보를 가지고 SA를 협상하기 위한 처리를 하고, 응답 메시지인 HDR와 SA, KE, Nr(응답자용 Nonce 페이로드)을 생성하여 메시지 구조체의 보낼 메시지 필드에 채운다. 그리고 이 단계에서 필요한 작업이 모두 끝나면, 메시지 구조체에 반영하고 나서 메시지 구조체는 삭제되고, 상태 정보 구조체의 보낼 메시지 필드의 내용을 발신자에게 보내면서 하나의 교환 단계가 마무리 된다. IKE 메시지가 들어왔을 때 헤더를 분석 해 보면 그 메시지가 지금 어떤 상태 종류인지 알 수가 있고, 상태 종류를 인덱스 삼아 해당 상태 절차 설명 구조체를 찾아간다. 그리고 상태 절차 설명 구조체의 상태 처리 함수의 포인터 필드를 참고하여 메시지 교환 처리를 한다. 그림 6은 상태 절차 설명 구조체를 나타낸다. 상태 절차 설명 구조체는 현재 상태 종류와 다음에 처리되어 할 상태 종류, 이번 단계에 들어와야 되는 필수 페이로드 목록과 옵션 페이로드 목록, 관련 이벤트 종류 등의 처리 절차상의 중요한 정보를 담고 있다. 또한 키 생성, SA 설립 등의 실질적인 처리를 하는 상태 처리 함수의 포인터를 가지고 있어서 상태에 맞는 적절한 상태 처리 함수를 이어주는 역할을 한다. 그리고 스트림 형태로 전달되는 IKE 메시지를 처리하는 함수들을 자세히 설명하면 다음과 같다.

그림 2의 IKE 프로토콜 엔진은 각 교환 단계의 정보를 담은 메시지를 받은 소켓 정보로부터 발신자 IP 주소와 포트 정보의 연결정보를 얻어 와서 메시지 구조체의 연결정보 필드를 채운다. 그 후에 UDP 소켓에서 읽은 IKE 메시지를 적절한 크기로 잘라서 메시지 구조체의 받은 메시지 스트림 필드로 채워 넣는다. 따라서 그림 7의 read_packet 함수는 UDP 소켓으로 받은 메시지를 적절히 잘라서 메시지 구조체의 받은 메시지 필드에 스트림 형태로 받아들이는 함수이다. 연결 정보 필드는 응답 메시지를 보낼 때 해당 주소로써 관리가 된다.

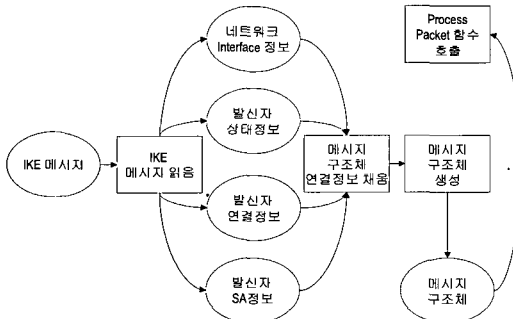


그림 7. Read Packet 함수

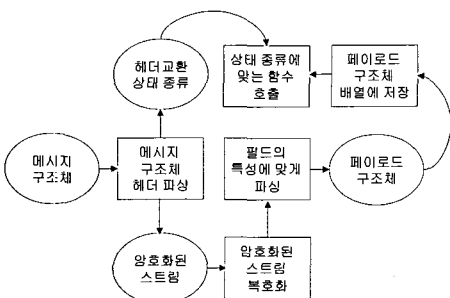


그림 8. Process Packet 함수

받은 메시지 스트림 정보는 그림 8의 process_packet 함수에서 파싱되어 각각의 페이로드로 분해된다. 파싱된 헤더에는 현재 어떤 교환 절차인가에 대한 헤더 교환 종류정보를 가지고 있으며, State Process 함수에서 헤더 교환 종류를 보고 1단계인지 2단계인지, 최초 메시지인지 두 번째 메시지인지, 수신자인지 발신자인지 등을 파악하여 해당하는 상태 종류를 찾아낸다.

스트림으로 되어 있는 데이터가 암호화 되어 있을 시에는 복호화를 한 후에 각 페이로드와 필드의 특성에 맞게 파싱하여 페이로드 구조체 배열로 관리 유지하고 상태 종류를 찾아내어 현 단계에 맞는 상태 처리 함수를 호출 할 수 있다. 그림 9의 상태 처리 함수는 process_packet 함수를 통해 메시지 구조체를 인자로 받아서 페이로드를 분석, 계산하여 키 값을 산출해 내고 전역 구조체인 상태 정보 구조체에 반영한다. 또한 보낼 메시지를 생성하여 메시지 구조체의 보낼 메시지 스트림 필드에 보관 후 그림 10의 Message Complete() 함수로 보내 모든 처리가 정상적으로 끝났을 경우 해당 연결 소켓에 메시지를 보내어 메시지 교환을 마무리 하고 비정상일 경우 에러를 리턴 한다.

그림 11과 12는 1,2 단계의 상태 처리 함수를

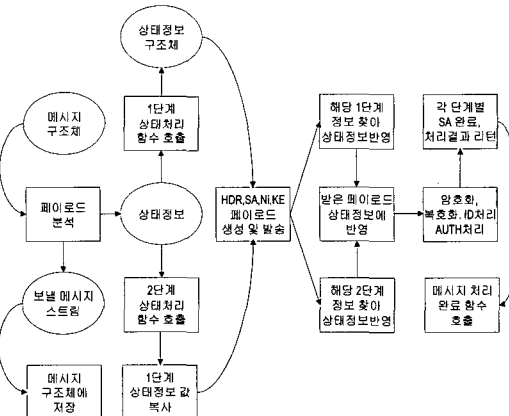


그림 9. State Process 함수

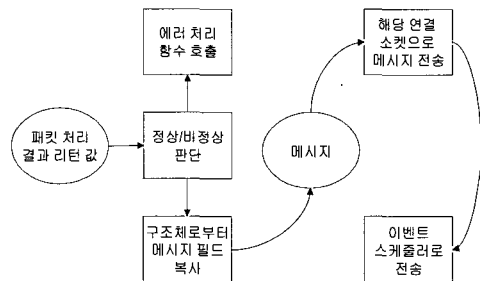


그림 10. Message Complete 함수

나타낸다. 상태처리 함수에서의 메시지 교환 1단계는 2쌍의 메시지 교환으로 이루어져 있고 발신자와 수신자 별로 상태 종류가 구분된다. 발신자와 수신자 간의 최초 연결 설립을 요청하는 경우에는 별도의 상태 종류가 필요 없고 상태 처리 함수만 존재하며 최초 수신시부터 상태가 적용된다. 그림 12의 1번 상태에서 메시지 교환 1단계의 발신자측 메시지를 받으면 발신자측의 상태 정보 구조체를 새로 생성하게 된다. 2번 상태에서는 수신자측의 상태 정보 구조체를 패킷 프로세스를 통해 파싱되어 받은 페이로드들을 하나씩 처리하여 상태 정보에 반영하고 응답용 페이로드를 만들어서 메시지 구조체의 보낼 메시지 스트림에 채우게 된다. 3번 상태에서는 해당 1단계 상태 정보를 찾아내어 암호화를 초기화하고 인증 처리를 하게 된다. 4번 상태에서는 초기화된 메시지를 식별하여 인증하고 1단계 수신자측의 SA 설립을 완료한다. 마지막 5단계에서는 발신자측의 메시지를 식별하여 인증하고 1단계 발신자측의 SA 설립을 완료한다. 그림 12의 2단계 상태 처리에서는, 1번 상태에서 2단계를 위한 발신자측의 상태 정보를 새로 생성 후에 기존의 1단계 상태 정보

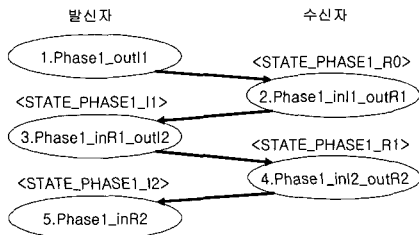


그림 11. 1단계 상태 처리

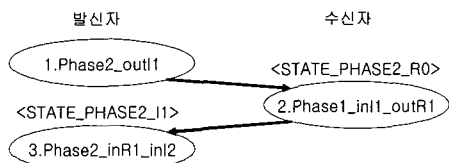


그림 12. 2단계 상태 처리

보의 값을 복사하고 페이로드를 생성한다. 상태정보의 암호화 정보를 통해 Hash 이후의 페이로드를 암호화 한 후 메시지 처리 완료 합수로 보낸다. 2번째 상태에서는 2단계를 위한 수신자측 상태 정보를 새로 생성한 후에 기존의 1단계 상태 정보의 값을 복사하고 파싱된 페이로드들을 하나씩 처리하여 상태 정보에 반영한다. 1단계에서 사용된 상태정보를 이어서 사용함으로써 상태 전이 횟수를 줄이게 되고 마지막 단계에서 커널에게 2단계 SA가 설정되었음을 알린다. 그리고 메시지 처리 합수에서는 받은 메시지의 정상 유무를 판단하여 정상일 경우 복호화 하여 해당 이벤트 처리기에게 보내고 비정상일 경우 에러메시지를 리턴하게 한다. 1단계는 2쌍의 메시지 교환, 2단계는 1쌍의 메시지 교환으로 이루어져 있고, 발신자와 수신자 별로 상태 종류가 구분된다. 본 연구에서는 줄어든 절차와 통합된 페이로드로 동작하도록 구현하였다.

3.2 서비스 거부 공격에 대한 방어 메커니즘

본 연구에서 구현한 개선된 IKE 프로토콜 엔진은 서비스 거부 공격에 대한 방어 메커니즘을 제공하도록 설계 되었다. 서비스 거부 공격은 시스템자원에 대한 정상 서비스를 방해하는 것이다. 이 공격은 2가지 형태로 나눌 수 있는데, 시스템 자원의 파괴로 손상을 입히는 경우와 시스템이나 네트워크 서비스에 과부하를 걸어 장애를 유발하는 경우이다. 구체적으로 본 연구에서 의미하는 서비스 거부 공격은 과도한 SA 협상을 뜻한다. 기존의 IKE 프로토콜에서는 저장된 사용자의 연결 정보와 새로

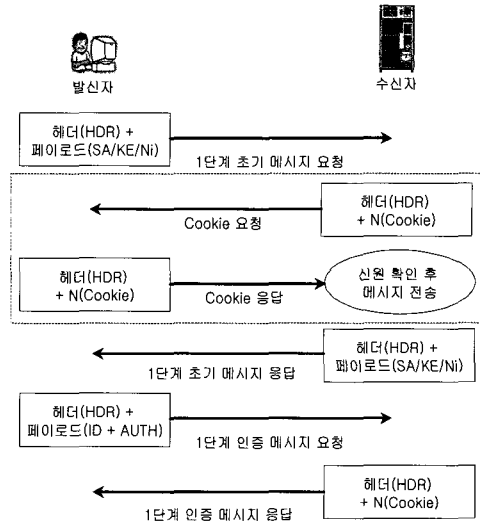


그림 13. 서비스 거부 공격에 대한 대응

협상 요청을 하는 사용자의 정보가 일치하지 않을 때, 연결 요청을 거부했다. 하지만, 본 연구에서 제안한 IKE 프로토콜의 Anti-DoS 방어기능은 그림 13과 같이 쿠키 요청(Cookie Request), 쿠키 응답(Cookie Response)라는 메시지 교환에 의해서 서비스 거부 공격에 대응한다. 발신자가 초기 메시지 요청 단계에서 메시지를 보낸 후에 이 메시지를 해킹한 공격자가 이 메시지와 발신자의 IP를 위조하여 수신자에게 SA 협상을 요청 했을 때, 수신자는 쿠키 값을 생성한 후, Notification 페이로드에 정보를 실어 발신자에게 보낸다.

기존의 IKE 프로토콜에서는 SA 요청이 들어오면 무조건 상태 정보를 저장한 구조체를 생성 했다. 이 구조체의 크기가 매우 커서, 대신 쿠키를 만들어 보내고 그에 관련된 정보만을 저장하는 것은 시스템의 자원에 대한 부하를 덜 수 있는 장점이 있다. 이 쿠키 값을 갖는 구조체의 크기는 40 바이트에 불과해서 부담이 많은 상태 정보 구조체에 비해 훨씬 적은 용량으로 적법성을 체크 하도록 한다. 수신자가 발신자에게 보낸 쿠키 요청 메시지의 쿠키 값을 해킹하여 수신자에게 쿠키 응답 메시지를 보내는 경우, 수신자는 쿠키 응답 메시지에 대해서 일련의 검사를 실시한다. 검사 결과 이상이 발견될 경우 더 이상의 처리를 하지 않고, SA 협상 요청에 대해서 최초의 발신자의 경우에 수신자가 생성한 SPI(Security Policy Index) 값을 가지고 있게 되므로, 그 값을 가지고 있지 않은 요청은 무조건 거절하도록 하였다.

III. 시스템 구현

본 연구에서 설계한 DoS 공격 방어 메커니즘을 갖춘 IKE 프로토콜 엔진의 성능 평가를 위해 IPsec 공개 소프트웨어 FreeS/WAN을 사용하여 구축한 IPsec 시스템에 본 연구에서 설계한 IKE 프로토콜을 탑재하고 키 교환 및 SA 성립 후에 VPN 인증 터널을 구현하는데 소요되는 Elapse Time과, 그림 14의 환경에서 DoS 공격을 받을 때 시스템의 성능을 평가하였다. 그리고 테스트베드 구현에 필요한 개발환경은 표 1과 같다.

본 연구에서 구현한 IKE 프로토콜과 기존의 IKE 프로토콜과의 비교 평가를 위해 기존의 IKE 프로토콜 엔진과 개선된 IKE 프로토콜 엔진이 탑재된 VPN 게이트웨이 3대를 구현하여 그림 14와 같이 배치한다. 본 연구에서 구축한 IPsec VPN 게이트웨이들은 본사와 지사를 구성하는 VPN 게이트웨이라 가정하고 시뮬레이션 하였다. 정확한 실험을 위해서는 실제 인터넷망 환경에서 VPN 게이트웨이를 연결하고 사용자들의 다양한 종류의 데이터가 VPN망을 통해 송, 수신되는 것을 평가함으로서 이루어져야 하나, 실제 인터넷 망 환경의 업무 조건을 충족시키는 것이 현실적으로 어려워 실험실내에 테스트 베드를 구성하였고, 전송되는 데이터는 VPN 게이트웨이의 끝단에서 1024 byte의 ICMP 패킷을 전송하도록 하였다. 테스트베드에 사용된 IPsec 공개 소프트웨어는 Free S/WAN 2.06 버전^[17]을 사용하였으

며 구현한 IKE 프로토콜 엔진의 탑재 및 게이트웨이 구현은 리눅스 커널 2.4.30과 GCC컴파일러를 이용하여 구현하였다. 각 VPN 게이트웨이의 구현 시 특별히 신경 써야 할 점은, IPsec에 사용되는 ESP 암호화 알고리즘이 Block Cipher 암호화 알고리즘이기 때문에 전송되고, 수신되는 패킷의 크기가 모두 같도록 운영체제 커널의 네트워크 드라이버를 조정해 줘야 한다. 이것은 네트워크 드라이버의 패킷 송, 수신 크기를 조정 할 수 있는 IPTABLE 명령을 이용해 Fragmentation된 패킷을 네트워크 드라이버에서 입, 출력 할 수 있도록 함으로써 해결 할 수 있다.

게이트웨이 1번을 목적지로 해서 게이트웨이 2번과 3번은 본사와 지사를 연결하는 가상 사설망이라 가정한다. 목적지인 1번 게이트웨이에는 2개의 네트워크 인터페이스를 구현하여, 1번 인터페이스와 2번 게이트웨이는 기존의 IKE 프로토콜을 이용한 IPsec SA 터널^[19]를 구성하도록 하고, 2번 인터페이스와 3번 게이트웨이는 본 연구에서 구현한 개선된 IKE 프로토콜을 이용하여 IPsec SA 터널을 구성하도록 하였다. 각 구간에서 동작하는 IPsec 프로토콜은 서로 다른 IKE 엔진을 탑재하도록 하여 1번 게이트웨이는 서로 다른 두개의 키 교환 엔진을 탑재한 2개의 커널로 구성되어 있고, ①번과 ②번 구간의 키 교환 성능을 테스트 할 때마다 2번 게이트웨이 혹은 3번 게이트웨이와 연동되는 커널로 시스템을 시작하여 테스트하도록 하였다. 테스트베드 환경에 lib-net 1.0과 IKE Probe.pl 1.0을 탑재한 공격 호스트를 구성하여 각 게이트웨이별 IPsec SA 성립 시 DoS 공격 툴을 이용해 Gateway 1에 Sync Flood DoS 트래픽을 발생시키고, Gateway 1의 시스템 CPU에 로드되는 부하를 비교하여 DoS 공격에 대한 대응과 성능을 평가하였다.

표 1. 시스템 구현 환경

	Gateway1	Gateway2	Gateway3	Attack Host
CPU	Pentium 500 Mhz	Pentium 500 Mhz	Pentium 500 Mhz	Pentium 500 Mhz
Memory	128Mbyte	128Mbyte	128Mbyte	128Mbyte
OS	Linux 2.4.30	Linux 2.4.30	Linux 2.4.30	Linux 2.4.30
Tool	GCC	GCC	GCC	GCC
Setting	IPsec IKEv1/ IPsec AntiDoS IKE	IPsec IKE	IPsec AntiDoS IKE	libnet-1.0 IKE probe.pl 1.0

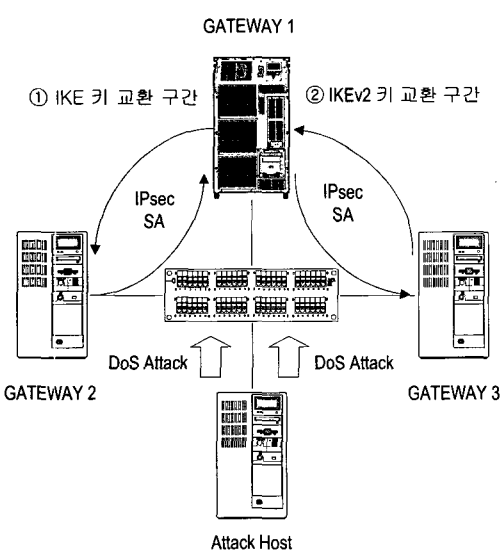


그림 14. 시스템 구성도

IV. 분석 및 성능 평가

그림 15는 테스트베드 환경의 IKE 키 교환 구간에서 키 교환 프로세스 데몬을 시작시킴과 동시에 패킷을 스니핑 한 결과이다. 관련 연구에서 설명한 바와 같이 IKE Phase 1 단계의 메인 모드는 ISAKMP 메시지^[20]을 교환하는 과정을 통해 SA를 협상, IKE 키 교환 인증을 수행하게 된다. 데이터의 발신지로부터 목적지까지 전송되는 패킷은 IKE 키 교환을 위한 상태전이를 보여주고 있다. 기존 IKE 키 교환 프로토콜로 구현된 IPsec 터널 구간에서는 IKE Phase 1 단계 메시지 교환^[21]을 위한 발신지로부터 목적지까지 ISAKMP 메시지 3개의 전송이 발생됨을 볼 수 있다. 이는 발신지와 목적지 간 총 6개의 메시지 교환 중 발신지로부터 전송되는 3개의 메시지를 보여주는 것이다. IKE Phase 1 단계를 통해 IKE SA(Security Association)이 확립되면, 키 교환 2단계를 통해 암호화된 터널이 형성되고 이 터널을 통해 암호화된 데이터가 전송되게 된다.

그림 15에서 ISAKMP Quick Mode^[22]는 암호화된 터널을 만들기 위해 발신지와 목적지 간에 전달되는 3개의 메시지 중 목적지로 전송되는 2개의 메시지를 보여주고 있다. 그림 16은 테스트베드 환경의 개선된 IKE 키 교환 구간에서 키 교환 프로세스 데몬을 시작시킴과 동시에 패킷을 스니핑 한 결과이다. 본 연구에서는 기존의 IKE 키 교환 시 1단계에서 필요한 6개 메시지 교환을 4개의 메시지 교환만으로 SA를 성립할 수 있도록 상태전이를 줄였으며, 터널 형성을 위한 2단계의 Quick 모드도 3 번의 메시지 교환을 2번의 메시지 교환으로 터널을 성립 할 수 있도록 개선되었음을 보이고 있다.

패킷 캡처 결과에서 볼 수 있듯이 개선된 키 교환 엔진에서는 발신지와 목적지 간에 1단계인 IKE SA를 성립하고 2단계인 IPsec SA 터널을 구성하는데, 목적지로 보내지는 2개의 Main Mode ISAKMP 메시지와 1개의 Quick Mode ISAKMP 메시지가 전송 되는 것을 볼 수 있다. 이렇게 메시지 전송 을 통한 상태 전이의 횟수를 줄임으로써 개선된 IKE 키 교환 엔진에서는 기존의 키 교환 메커니즘 보다 빠르게 IKE SA와 IPsec SA 터널을 구성 할 수 있다. IPsec에서 키 교환 이후에 암호화 된 터널이 성립된 후 암호화 알고리즘을 이용해 전송되는 패킷을 분석한 결과는 그림 17과 같다. 발신지에서 목적지까지 패킷을 보낼 때, 암호화 된 패

No.	Time	Source	Destination	Protocol	Info
1	0.000000	211.52.6.240	Broadcast	ARP	Who has 211.52.6.247? Tell 211.52.6.240
2	0.000008	211.52.6.240	_211.52.6.240_	ARP	211.52.6.247 is at 00:15:5e:22:f6
3	0.000562	211.52.6.240	_211.52.6.247_	ISAKMP	Identity Protection (Main Mode)
4	0.381637	211.52.6.240	_211.52.6.247_	ISAKMP	Identity Protection (Main Mode)
5	0.662245	211.52.6.240	_211.52.6.247_	ISAKMP	Identity Protection (Main Mode)
6	1.034768	211.52.6.240	_211.52.6.247_	ISAKMP	Quick Mode
7	1.276662	211.52.6.240	_211.52.6.247_	ISAKMP	Quick Mode
8	1.093629	211.52.6.247	211.52.6.240	ARP	Who has 211.52.6.240? Tell 211.52.6.247
9	4.499392	211.52.6.240	211.52.6.247	ARP	211.52.6.240 is at 00:15:5e:22:f6

그림 15. 기존 IKE 프로토콜의 1,2단계 상태 전이

No.	Time	Source	Destination	Protocol	Info
1	0.000000	211.52.6.241	Broadcast	ARP	Who has 211.52.6.248? Tell 211.52.6.241
2	0.000008	211.52.6.241	_211.52.6.241_	ARP	211.52.6.248 is at 00:12:5b:3e:23:d0
3	0.000562	211.52.6.241	_211.52.6.241_	ISAKMP	Identity Protection (Main Mode)
4	0.381231	211.52.6.241	_211.52.6.241_	ISAKMP	Identity Protection (Main Mode)
5	0.662223	211.52.6.241	_211.52.6.241_	ISAKMP	Quick Mode
6	0.998481	211.52.6.240	_211.52.6.240_	ARP	Who has 211.52.6.241? Tell 211.52.6.248
7	1.246021	211.52.6.241	211.52.6.240	ARP	211.52.6.241 is at 00:51:93:7f:df:93

그림 16. 개선된 IKE 프로토콜의 1,2단계 상태 전이

킷과 비 암호화 된 패킷은 패킷에 포함된 데이터의 내용이 패킷 스니핑을 통해서 노출되는지 안 되는지를 통해 확인 해 볼 수 있다. 암호화 된 패킷은 ESP 프로토콜에 의해 암호화 되어 패킷의 내용이 무언지를 패킷 스니핑을 통해서도 알 수 없으며, 단지 암호화 프로토콜이 ESP란 것과 16진수의 Security Index Policy 값만을 보여준다. 하지만 암호화를 하지 않았을 경우 그림 17의 아래 박스의 내용과 같이 발신지로부터 목적지로 보내지는 패킷이 ICMP라는 것과 ping command의 request echo를 보내고 있는 것을 확인 할 수 있다.

그림 18과 19는 본 연구에서 구현한 개선된 IKE 프로토콜 엔진과 기존의 IKE 프로토콜 엔진의 속도차이가 어느 정도인지를 실험으로 검증한 결과이다. ISAKMP 프로토콜의 메시지 교환을 통해 SA가 성립되고 암호화된 터널을 구성하는데 소요되는 Elapse Time을 총 시도 횟수 20번씩을 주어서 초기 단계와 2번째 단계를 서로 비교해 보았다. 테스

No.	Time	Source	Destination	Protocol	Info
70	93.647812	211.52.6.240	211.52.6.247	ESP	ESP (SPI=0xd4949f02)
No.	Time	Source	Destination	Protocol	Info
71	94.647826	211.52.6.240	211.52.6.247	ESP	ESP (SPI=0xd4949f02)
No.	Time	Source	Destination	Protocol	Info
72	95.647856	211.52.6.240	211.52.6.247	ESP	ESP (SPI=0xd4949f02)
No.	Time	Source	Destination	Protocol	Info
73	96.647828	211.52.6.240	211.52.6.247	ESP	ESP (SPI=0xd4949f02)
No.	Time	Source	Destination	Protocol	Info
74	123.736851	211.52.6.240	211.52.6.247	ICMP	Echo (ping) request
No.	Time	Source	Destination	Protocol	Info
75	124.735369	211.52.6.240	211.52.6.247	ICMP	Echo (ping) request
No.	Time	Source	Destination	Protocol	Info
76	125.735332	211.52.6.240	211.52.6.247	ICMP	Echo (ping) request
No.	Time	Source	Destination	Protocol	Info
77	126.735414	211.52.6.240	211.52.6.247	ICMP	Echo (ping) request
No.	Time	Source	Destination	Protocol	Info
78	127.735325	211.52.6.240	211.52.6.247	ICMP	Echo (ping) request
No.	Time	Source	Destination	Protocol	Info
79	128.735338	211.52.6.240	211.52.6.247	ICMP	Echo (ping) request

그림 17. 암호화, 비 암호화 패킷 비교

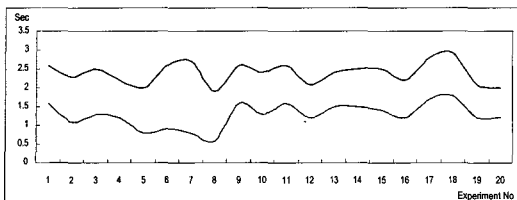


그림 18. 키 교환 초기단계 Elapse Time

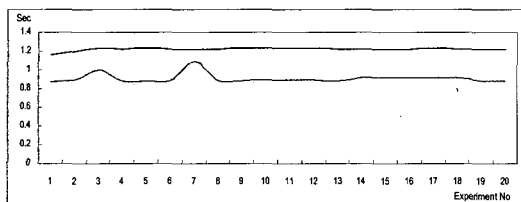


그림 19. 키 교환 2단계 Elapse Time

트 베드의 실험환경은 100M 이더넷으로 구성된 LAN 환경에 각 게이트웨이간의 거리는 5M이다. 각각의 IKE 버전의 1단계에 대해서 비교실험을 한 후 나타난 결과는 그림 18과 같다.

1단계 메시지 교환에서는 많은 메시지들이 전송되며, 암호 알고리즘에서도 보안상의 이유로 복잡한 알고리즘을 쓰기 때문에 2단계 메시지 교환에 비해서 많은 시간이 걸리는 것을 볼 수 있다. 개선된 IKE 초기 단계의 메시지 교환 속도를 보면 기존의 IKE 초기 단계보다 절반 정도의 시간 차이가 나도록 빠르게 교환됨을 실험 결과 알 수 있다. 그림 19는 2단계에 대해서 비교 실험한 결과를 보여 주고 있다. 초기 단계에 비해서 전송되는 메시지의 양도 적으며 암호화 알고리즘도 초기 단계에 비해서 훨씬 간단한 것을 쓰기 때문에 속도는 전체적으로 빠르게 나온다. 하지만 키 교환 2단계에서도 기존의 IKE와 본 연구에서 구현한 개선된 IKE의 속도차이는 확실히 구분 할 수 있을 정도로 나타났으며, 성능 면에서 확실히 향상되었음을 보여주고 있다.

두 번째 실험은 본 연구에서 구현한 DoS 공격에 대한 방어 기능에 대한 것이다. 그림 14의 공격 호스트에서 게이트웨이1번에 Sync Flood 공격을 하고, 본 연구에서 구현한 DoS 공격에 대한 방어 기능에 대하여 평가 하였다. 서비스 거부 공격은 시스템자원에 대한 정상 서비스를 방해하는 것이다. 이 공격은 2가지 형태로 나눌 수 있는데, 시스템 자원의 파괴로 손상을 입히는 경우와 시스템이나 네트워크 서비스에 과부하를 걸어 장애를 유발하는 경우이다. 공격 호스트로부터의 Sync Flood 공격은

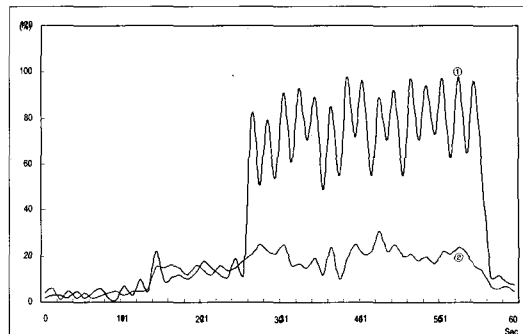


그림 20. CPU 부하 비교

IKE Probe 툴을 이용해 그림 14의 ①번과 ②번 구간에서 IPsec SA를 성립할 때, 게이트웨이1번에 과도한 SA 협상 요청을 하여 네트워크 서비스에 과부하를 걸어 장애를 유발 하도록 공격하고 게이트웨이1번의 CPU 부하를 모니터하여 서비스 거부 공격으로 인해 시스템에 과부하가 걸리는지 아닌지를 파악하였고 결과는 그림 20과 같다.

그림에서 ①번 그래프는 기존의 IKE 프로토콜 엔진을 이용하여 IPsec SA를 연결 할 때 공격 호스트로부터의 과도한 Sync Flood에 대한 CPU의 처리 부하의 상황을 나타내고 있고, 그래프의 ②번은 본 연구에서 구현한 DoS 공격에 대한 방어 기능을 갖는 개선된 IKE 프로토콜엔진에 의해 성립된 IPsec SA를 연결 할 때 서비스 거부 공격에 대한 CPU의 처리 부하의 상황을 1분간 나타낸 것이다. 서비스 거부 공격이 이루어진 상황에서 기존의 IKE 프로토콜을 이용한 IPsec SA 구간에서는 공격 목표의 게이트웨이 1번의 CPU 부하가 약 30초간 80%에서 90% 이상 급격하게 상승하여 서비스 거부 공격에 취약한 결과를 보이고 있다. 하지만 본 연구에서 구현한 IKE 프로토콜 엔진을 탑재하여 IPsec SA를 성립 하였을 경우, 같은 조건의 서비스 거부 공격에 대해서도 CPU 사용 부하에 커다란 변화가 없음을 볼 수 있다. 기존의 IKE 프로토콜에서는 SA 요청이 들어오면 무조건 상태 정보를 저장한 구조체를 생성 했지만, 본 연구에서 구현한 IKE 엔진에서는 이 구조체의 크기가 매우 커서, 대신 쿠키를 만들어 보내고 그에 관련된 정보만을 저장하도록 함으로써 시스템의 자원 할당 및 과도한 연산을 덜 수 있도록 하였다. 이 쿠키 값을 갖는 구조체의 크기는 40 바이트에 불과해서 부담이 많은 상태 정보 구조체에 비해 훨씬 적은 용량으로 적법성을 체크 하도록 한다. 수신자가 발신자에게 보낸 쿠키 요

청 메시지의 쿠키 값을 해킹하여 수신자에게 쿠키 응답 메시지를 보내는 경우, 수신자는 쿠키 응답 메시지에 대해서 일련의 검사를 실시하도록 하고, 검사 결과 이상이 발견될 경우 더 이상의 처리를 하지 않고, SA 협상 요청에 대해서 최초의 발신자의 경우에 수신자가 생성한 SPI(Security Policy Index) 값을 가지고 있게 되므로, 그 값을 가지고 있지 않은 요청은 무조건 거절하도록 하였기 때문에 SA 연결 요청에 시스템이 영향을 받지 않도록 하였다.

V. 결론

본 논문에서 구현한 IKE 프로토콜은 정상 상태에서 4개의 메시지 교환에 의해 통신 쌍방이 인증된 보안채널을 수립하도록 하여, 기존 IKE 프로토콜의 6개의 메시지 교환에 의한 보안 채널을 구성하는 상태 전이를 줄이고 간소화 하여 Security Association을 성립하는데 걸리는 시간을 대폭 단축하여 성능을 향상 시켰다. 이것은 IKEv2 RFC 문서에서 권고하는바 데로 기존 IKE Phase 1,2단계의 분리 개념을 계승하여, 1단계에서 수립된 IKE SA를 후속 IPsec SA들의 수립과 관리 시 제어 채널로 활용하고 1단계의 상태 정보를 2단계에서도 활용 할 수 있도록 설계함으로써 가능 하였다. 본 연구에서 구현한 IKE 프로토콜은 기존의 프로토콜보다 훨씬 간단하고, 서비스 거부 공격에 대해서도 영향을 받지 않는다. 본 연구에서 테스트 베드로 사용한 공개용 IPsec VPN에 연동시킬 수 있었듯이, 멀티 벤더로 구축될 여러 종류의 IPsec 관련 어플리케이션과도 상호 연동성을 크게 향상 시킬 수 있음을 보였다. 본 연구에서 구현한 보안 프로토콜을 커널에 삽입하여 컴파일 한 IKE 시스템 엔진의 크기는 928K byte에 불과 하였다. 이는 이동 단말기와 같은 CPU와 메모리에 제약을 받는 소용량 컴퓨팅 능력을 갖는 소형 단말기에서도 보안 프로토콜 설치를 가능하게 하여 모바일 통신에서도 보안 채널을 이용한 접속 서비스를 구현하는 것이 충분히 가능하다는 것을 확인하였다. 향후 연구에서는 테스트 베드 환경을 무선 단말기 환경으로 구성하여, 무선 통신 환경에서의 보안 프로토콜에 연동되는 키 교환 프로토콜의 구현 및 안정성을 분석하고, 제반 성능을 평가하는 연구를 수행 할 예정이다.

참 고 문 헌

- [1] 김윤희, 이계상, “IPsec 테스트 베드의 구성 및 암호화 식별 도구 개발” 한국통신학회논문지 제28권 6C호 2003. 6
- [2] S. Kent, et, al. “IP Authentication Header,” *RFC2402*, IETF 1998.11
- [3] S. Kent, et, al. “Encapsulating Security Payload,” *RFC2406*, IETF 1998. 11
- [4] S. Kent, et, al. “Security architecture for the Internet Protocol,” *RFC2401*, IETF 1998. 11
- [5] D. Harkins, et, al. “The Internet Key Exchange,” *RFC2406*, IETF, 1998.11
- [6] D. Maughan, et, al. “Internet Security Association and Key Management Protocol,” *RFC2408*, IETF 1998.11
- [7] C. Kaufman, ed. Microsoft, “Internet Key Exchange (IKEv2) Protocol” *RFC4306*, IETF 2005. 12
- [8] 박수진, 서승현, 이상옥, “M-Commerce 사용자를 위한 효율적인 패스워드 기반 인증 및 키 교환 프로토콜” 정보과학회논문지 시스템 및 이론 제32권 제 3호 2005. 4.
- [9] 변해선, 이미정, “성형 VPN 구조에서의 주문형 터널 생성 메커니즘,” 정보과학회논문지 정보통신 제 32권 제 4호 2005. 8
- [10] 이재형, 김태형, 한규필, 김영학, “무선 랜에서 빠른 재 인증을 이용한 간소화된 키 관리 기법,” 정보과학회논문지 정보통신 제32권 제 3호 2005. 6
- [11] 이성운, 김현성, 유기영, “패스워드 기반의 효율적인 키 교환 프로토콜,” 정보과학회논문지 정보통신 제 31권 제4호 2004. 8
- [12] 류은경, 윤은준, 유기영, “공유 패스워드를 이용한 클라이언트 서버 인증키 교환 프로토콜,” 정보과학회논문지 정보통신 제 31권 제 3호 2004. 6
- [13] 이형규, 나재훈, 손승원, “IPsec 시스템에서 IKE 프로토콜 엔진의 연동에 관한 연구,” 정보보호학회논문지 제 12권 제 5호, 2002. 10
- [14] 이광수, 신은경, 이홍섭, “IPsec 제품의 적합성 및 상호 운용성 시험,” 정보보호학회지 제 11권 제 2호 2001. 4
- [15] 주한규, “IPsec의 키 교환 방식에 대한 안정성 분석,” 정보보호학회논문지 제 10권 제 4호 2000. 12

- [16] 최인석, 정수환, 김영한, 박용석, "IPv6 전환 기술 중 NAT-PT에서의 IPsec 적용 방안," 한국통신 학회논문지 제 30권 제 11호 2005.
- [17] www.freeswan.org
- [18] T.Kivinen, H. Tschofenig, "Design of the MOBIKE protocol," *Internet Draft draft-ietf-mobike-design-08* IETF 2006. 3
- [19] IEEE. Standard Specifications for Public Key Cryptography, *IEEE1363*, 2002.
- [20] V. Boyko, P. MacKenzie "Provably Secure Password Authenticated Key Exchange Using Diffie-Hellman," *Advances in Cryptology-EUROCRYPT'2000*, 2000.

김 성 찬(Sung-Chan Kim)



통신공학

정회원

2002년 2월 숭실대학교 정보과학대학원 석사
2005년 2월 숭실대학교 대학원 컴퓨터학과 박사 수료
2000년 10월~현재 (주)유코레일 전산실 차장
<관심분야> 정보보호, 유, 무선

천 준 호(Junho Choun)



라우팅 보안, 암호학

정회원

2003년 2월 숭실대학교 컴퓨터학과 학사
2005년 2월 숭실대학교 컴퓨터학과 석사
2005년 2월~현재 숭실대학교 컴퓨터학과 박사과정
<관심분야> 네트워크 보안, 무선

전 문 석(Mun-Seog Jun)



종신회원

1986년 2월 미국 University of Maryland 전산학 석사
1989년 2월 미국 University of Maryland 전산학 박사
1989년 Morgan State University 전산학과 조교수
1989년~1991년 New Mexico State University 부설 Physical Science Lab 책임연구원
1991년~현재 숭실대학교 정보과학대학원 정교수
<관심분야> 네트워크 보안, 컴퓨터 알고리즘, 암호학